

ニューラルネットワークとファジィ理論を用い 水頭観測値を利用したジオトモグラフィーのための 基礎的研究

三重大学生物資源学部 正会員 大野 研

1. 意見

地盤探査は、地盤の力学的・水理学的性質の分布を把握することが目的である。従来、主として地質踏査、ボーリング、検層、原位置試験、土質試験などが主要な方法であった。しかし、それらの試験で得られる情報は、ある一点、あるいはボーリング孔や調査横孔沿いの線上の情報に過ぎず、断面全体としての評価に際しては、それらの情報を地質学的にに基づいて内挿するという手段がとられてきた[1]。

最近では、工事の広域化や大型化に伴って、自然災害の予知・実態調査、環境アセスメント調査なども必要になってきたため、従来の方法では仮定要因が多すぎて対処しづらくなってきた。そのため、従来の点的調査だけでなく、広域的・即時の情報も必要になってきた。

そこで、近年多くの機関で開発・実用化が進められているジオトモグラフィー（複数のボーリング孔や調査横孔を利用し、この間の断面の地盤物性分布を何らかのエネルギーの投影によって、直接画像化する方法）が、ハードとソフトの両面にわたって発展・進歩してきた[2]。従来の調査方法に比べて精度や客觀性の面で優れた方法といえる。

ジオトモグラフィーは、医学用CTスキャナの応用と言われている。医学用CTスキャナは、X線の投影データを基に、断層図を再構成するものである。この再構成法には、大きく分けて1) 逆投影法、2) 逐次近似法、3) 解析的方法が存在する。

このうち1)は、画像がぼける事が知られており、2)は解の一意性がなく計算に時間がかかる欠点が知られており、医学用CTスキャナは3)の方法を使うことが多い。しかし、ジオトモグラフィーにおいては、CTスキャナほど多くの角度の投影データを得ることが不可能なので、3)の方法を用いることができず、2)の方法を用いることが多い。

投影データには、内部の情報がすべて含まれているので、投影データから内部の状態を推測することは可能である。しかし、これは積分方程式を解くことに相当するので、データが少ないとには、いく通りもの予測が可能である。

ジオトモグラフィーにおいては、投影データの数を増やすことはほとんど不可能なので、妥当な予測を行うためには、技術者の知識・経験を積極的に利用していくべきである。

従来から、地質学者の推定とジオトモグラフィーの結果を結びつけなければ、信頼性の高い推定は行えないと言われているので、これは当然のことである。

一般に、ジオトモグラフィーには、弾性波や電磁波などの波動現象を取り扱うもの、電気比抵抗などの分布を測定するものなどがある。しかし、ジオトモグラフィーにより地盤の透水性の分布を知りたい時もあるので、そのような場合には直接透水性を表す浸透流を用いて、画像を再構成した方が精度が高いことになる。

ここでは、浸透流を情報として用い、その情報からニューラルネットワークによって、浸透流と地盤の構造の関係を学習し、その結果を基にファジィ推論によって、地盤の断層図を再構成するための基礎的研究を

Fundamental study on geotomography based on observed heads of water by neural network and fuzzy theory : Ken Ohno (Mie University)

行った。

2. 解析方法

解析方法は、1) ニューラルネットワークによる地盤の構造が浸透流に与える影響の学習と、2) ファジィ推論による浸透流測定結果からの画像の構成の2つの部分に分けられることになる。

実際問題として、ニューラルネットワークだけあれば、地盤構造とそれが浸透流に与える影響を関連づけることができる。したがって、地盤構造とそれが浸透流に与える関係を与えるニューラルネットワークを構築できれば、それで浸透流の観測から地盤構造を推測することができるはずである。しかし既に述べたように、ジオトモグラフィーでは、十分な量のデータを得ることはできないので、上に述べたニューラルネットワークを構築することができるとは考えられない。そこで、ファジィ推論をさらに利用することにする。

2.1 ファジィ推論のための基本的なルール

本解析において、ニューラルネットワークは、IF...THEN...形式のファジィ推論ルールの前件部に含まれるファジィ集合を決定するために用いられ、ファジィ推論の客觀性を増大させることを目的とする。

したがって、2) で記述すべきファジィ推論ルールが重要となる。しかし、その前に具体的に、如何にして浸透流を流し、如何にして測定するつもりなのかを叙述する必要がある。

ここで提案している浸透流のジオトモグラフィーは、図1に示す矢印の位置のところで、順次加圧を行い、●の位置で水圧を測定することを基本とする。

したがって、水圧の測定値と地盤の構造を関連づける次のようなルールが考えられる。

- (R1) 水圧の2階微分が大きければ、そこは地盤の構造がことなる境界である可能性が大きい。
- (R2) 水圧の2階微分が中位ならば、そこは地盤の構造がことなる境界である可能性が中位である。
- (R3) 水圧の2階微分が小さければ、そこは地盤の構造がことなる境界である可能性が小さい。

そして、この可能性を測定点の列の垂直方向に外挿する。

もし、多くの方向から浸透流を流し、多くの方向での測定が可能であれば、ここで示したルールにしたがって得られた可能性をそれらの方向について足し合わせれば、かなりはっきりした像を得ることができるこことは直感的に理解される。ただし、ここで得られる像は輪郭だけであり、内部については何等情報を与えない。これも、他の手法と異なることである。

ここで示したルールを簡単な例で検証する。図2(a)のような地盤があり、図2(b)に点線で示す方向で測定を行えば、直接的には図2(c)のような像が得られる(線の太さが地盤の構造が異なる境界である可能性の大きさを表している)。これにうまくフィルターをかけると、図2(d)のように像が得られ、かなりよく現実の地盤を表していることになる。

2.2 追加するルール

ここでは、ジオトモグラフィーで得られる測定データの少なさを考慮して、図1に示した加圧点と測定点

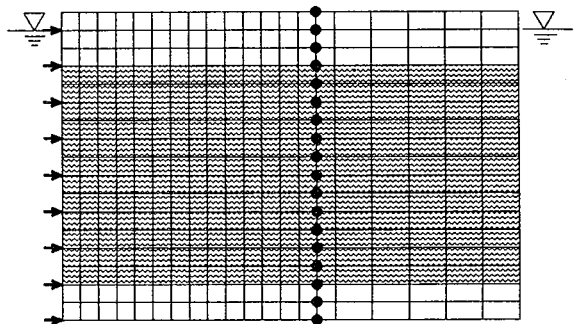


図1 地盤モデル

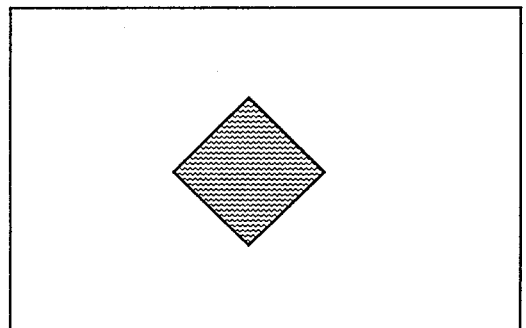


図2(a) 地盤モデル

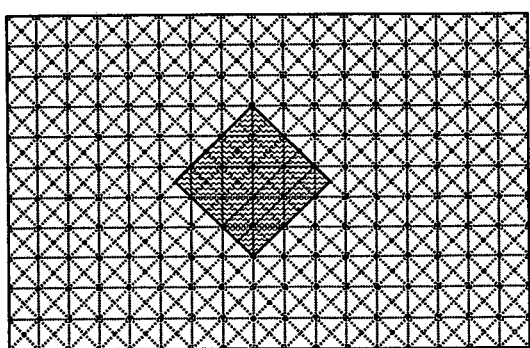


図2 (b) 測定の方向

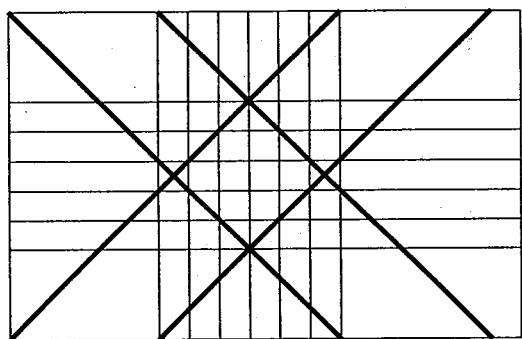


図2 (c) 再構成される画像

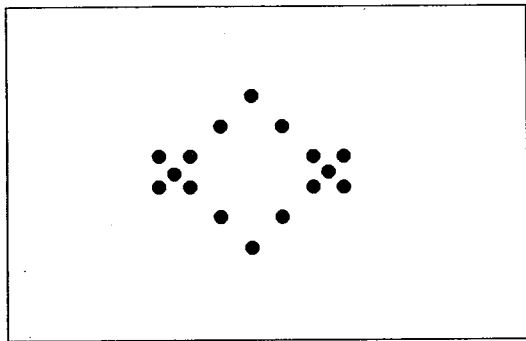


図2 (d) フィルターをかけられた画像

境界があがき!

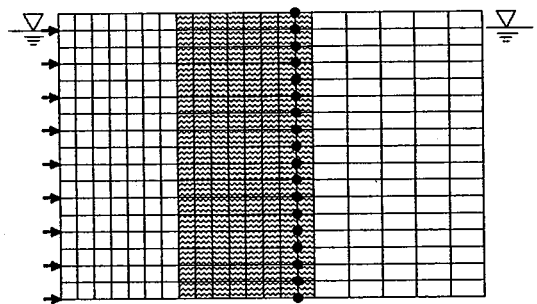


図3 地盤モデル

でのデータしか得られないと仮定する。

するとこのルールでは、(図1に示す地盤構造のような)測定点の列に垂直に層を成すような地盤構造については、予測可能であるが、測定点の列に平行に層を成すような地盤構造についてはなんら予測を行えないことになる。

最もこれは他のジオトモグラフィー技術についても同様であり、図1に示すような測定だけから、測定点の列に平行に層を成す地盤構造を予測することは不可能である。

しかし、例えば図3に示すような地盤が在ったときに、図に示す矢印の位置で加圧を行い、●の位置で測定を行うとすれば、次のようなルールで予測可能である。

(R' 1) 均一地盤であると仮定したときに測定されるであろう水圧と、実際に測定された水圧の差の絶対値が大きいならば、測定点の列と斜線部が始まる位置との距離が大きい。

(R' 2) 均一地盤であると仮定したときに測定されるであろう水圧と、実際に測定された水圧の差の絶対値が中位ならば、測定点の列と斜線部が始まる位置との距離が中位。

(R' 3) 均一地盤であると仮定したときに測定されるであろう水圧と、実際に測定された水圧の差の絶対値が小さいならば、測定点の列と斜線部が始まる位置との距離が小さい。

2.3 構築したニューラルネットワーク

実際に地盤構造を以上のようなルールで予測するために、前件部をニューラルネットワークで学習することにする。学習には、次に示すバックプロパゲーション法を用いる。

m 層のネットワークを考え、 k 層の第 i ユニットへの入力の総和を i^k_i 、出力を o^k_i とし、 $k-1$ 層の

第*i* ユニットから*k* 層第*j* ユニットへの結合の重みを $w^{k-1} i^k_j$ とする。各ユニットの入出力関係を与える関数を f とすると、これらの変数の間の関係は、

$$o^k_i = f(i^k_i) \quad (1)$$

$$i^k_i = \sum w^{k-1} i^k_j \quad (2)$$

とする。また結合の修正量 $\Delta w^{k-1} i^k_j$ は、

$$\Delta w^{k-1} i^k_j = -\varepsilon d^k_j o^{k-1} i \quad (3)$$

$$d^k_j = (o^n_j - y_j) f' (i^n_j) \quad (4)$$

$$d^k_j = (\sum w^{k+1} i^{k+1} j d^{k+1} i) f' (i^k_j) \quad (5)$$

とする。ここで関数 f は、すべてのユニットについて共通で

$$f(x) = \frac{1}{1 + \exp(-x + \theta)} \quad (6)$$

を選ぶことにする。また、学習の収束を早めるため実際には、結合の修正量 $\Delta w^{k-1} i^k_j$ には、(3)式で定義されるものに加速項加え、次式とする。

$$\Delta w^{k-1} i^k_j (t+1) = -\varepsilon d^k_j o^{k-1} i + \alpha \Delta w^{k-1} i^k_j (t) \quad (7)$$

ここで、 θ : しきい値、 ε : 修正の大きさを決める定数、 t : 修正の回数、 α : 小さな正の定数である。

ここで用いたニューラルネットワークは、図4に示すような入力層1個、隠れ層4個及び3個、出力層3個のようなものである。

(R) のルールの前件部を学習するために、水圧の2階微分の大きさを入力として、その大きさの大、中、小が出力である。学習方法は山岡らのニューラルネットワークを用いたメンバーシップ関数の学習法[3]に習っている。すなわち、実際に地盤の構造の境界となってる時には、その2階微分値を大と学習させる。その時、出力層の大に1を与えるだけではなく、中と小にもある程度の値を与える。同様に地盤の構造の境界となっていないときには、出力層の小に1を与え、中と小にもある程度の値を与える。ある2階微分の値に対して、地盤の構造の境界になっていたり、境界になっていたいなかったりするときには、出力層の中に1を与え、大と小にもある程度の値を与える。

(R') のルールの前件部の場合もほぼ同様で、均一地盤であると仮定したときに測定されるであろう水圧と測定した水圧との差を入力として、その大きさの大、中、小を学習させる。ただし、この場合は斜線部の透水性が斜線のない部分の透水性より小さい場合と斜線部の透水性が斜線のない部分の透水性より大きい場合では、大、中、小の意味合いが異なる。また、斜線部の透水性と斜線がない部分の透水性の比によって

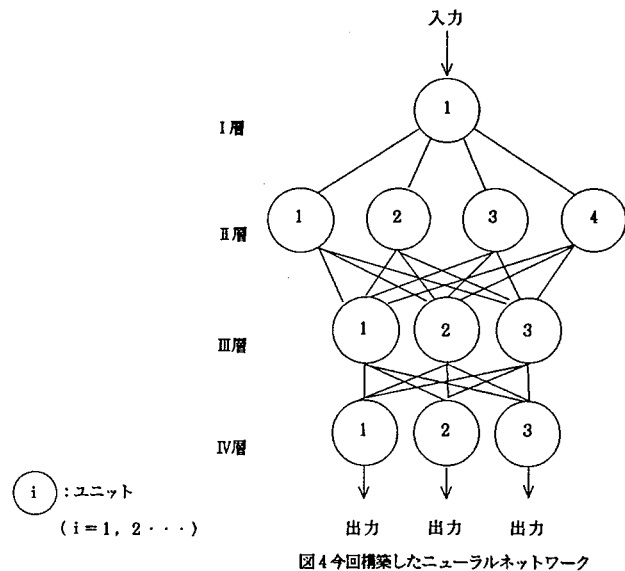


図4 今回構築したニューラルネットワーク

も、大、中、小の意味合いが異なってくる。したがって、今回は斜線部と斜線がない部分の透水性の比を $1:10$ または $10:1$ に固定し、斜線部の透水性が斜線のない部分の透水性より小さい場合と斜線部の透水性が斜線のない部分の透水性より大きい場合には、表面的には同じルールを用いるが、実際には用いるファジ集合の定義を変えて対応することにする。

両ニューラルネットワークとも、10万回の学習を行

った。図5に学習曲線を示す。図6に学習された各ルールの前件部に含まれるファジ集合を示す。

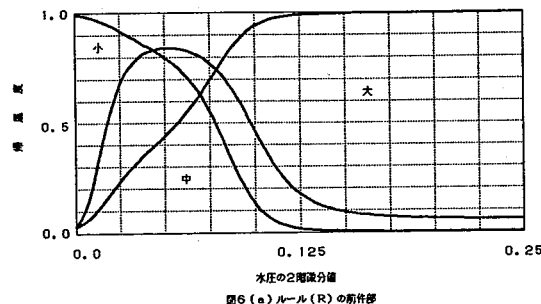


図6(a) ルール(R)の前件部

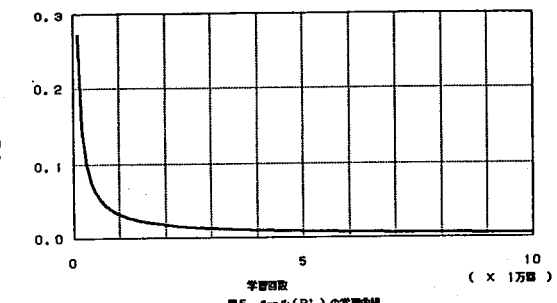


図5 ルール(R')の学習曲線

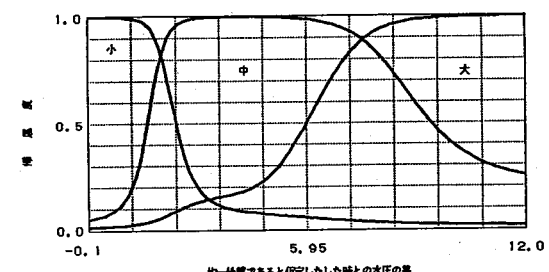


図6(b) ルール(R')の前件部

2.4 推論方法

推論は、Mamdaniの推論法と重心法を使うこととする。Mamdaniの推論法は、ファジィ関係とファジィ関係の合成則を用いて、推論を行う方法である。2つのファジィ集合 A と B があるとき、 A と B の関係を表すファジィ集合をファジィ関係 R といい、 A と B によって次式のように表される。

$$\mu_R(x, y) = \min(\mu_A(x), \mu_B(y)) \quad (8)$$

ここで、 μ_R はファジィ関係のメンバーシップ関数、 μ_A と μ_B はファジィ集合 A と B のメンバーシップ関数である。

2つのファジィ関係 Q と R の合成「 o 」は、次式のように定義されている。

$$\mu_{Q \circ R}(w, y) = \max_x (\min \mu_Q(w, x), \mu_R(x, y)) \quad (9)$$

したがってファジィ集合 B は、ファジィ集合 A とファジィ関係 R から次のように表されることが分かる。

$$B = A \circ R \quad (10)$$

この演算は、「If x is A then y is B 」を表していると考える。すると、「 x is A' 」という入力があったときの推論結果「 y is B' 」を、次式によって求めることができる。

$$B' = A' \circ R \quad (11)$$

n 個の「If x is A then y is B 」タイプのルールが存在するとき、一つの入力 A' に対して、 n 個の推論結果「 y is B' 」が得られる。通常、 n 個のルールは or で連結されていると考えられるので、総合的な推論結果 B' は、次式で得られる。

$$B'' = B'_1 \cup B'_2 \cup \dots \cup B'_{\infty}$$

(12)

この総合的な推論結果のファジィ集合 B'' の代表値として、次式に示す $\mu_{B''}(y)$ の重心を選ぶ。

$$y_0 = \frac{\int y \times \mu_{B''}(y) dy}{\int \mu_{B''}(y) dy} \quad (13)$$

3. 解析例と考察

以上のことから、浸透流の測定から地盤の画像化を行うことができる。図7に後件部のファジィ集合を示す。

推論結果の例を、図8に示す。図中の線の太さが、地盤構造が異なる可能性を示し、斜線部が実際に地盤構造が異なる部分を表す。(R)のルールによる推定も、(R')のルールによる推定もほぼ正しい推定を行っている。特に測定点の列に垂直に層を成すような地盤構造は、まず間違いなく推定することができる。

ここで、示したようにかなり簡単な方法で、精度の高い地盤構造を予測することはできるが、もっと複雑な地盤構造を予測するためには、もっと多くのルールを組み合わせる必要がある。今後、ルールを整備してゆけば、ここで発展させた方法は有効なものとなると思われる。

参考文献

- [1]石井康夫、地盤探査技術の現状、土と基礎、Vol. 33、No. 7、pp. 7-11、1985
- [2]小島圭二ほか、ジオトモグラフィーによる岩盤の画像化、応用地質、Vol. 30、No. 3、pp. 1-10、1989
- [3]山岡正人ほか、ニューラルネットワークを用いたメンバーシップ関数の学習法、ファジィシステムシンポジウム講演論文集、pp. 197-200、1990

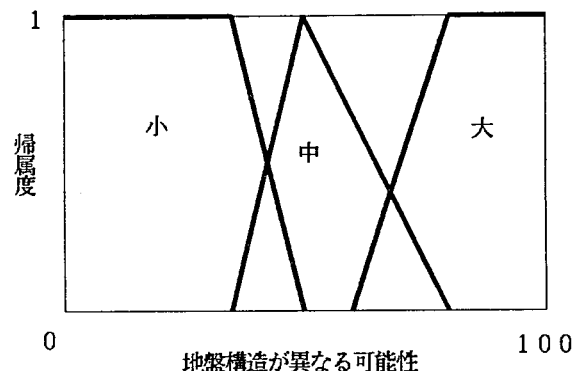


図7 (a) ルール (R) の後件部

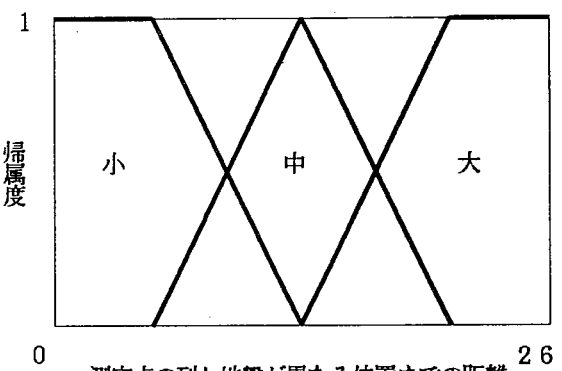


図7 (b) ルール (R') の後件部

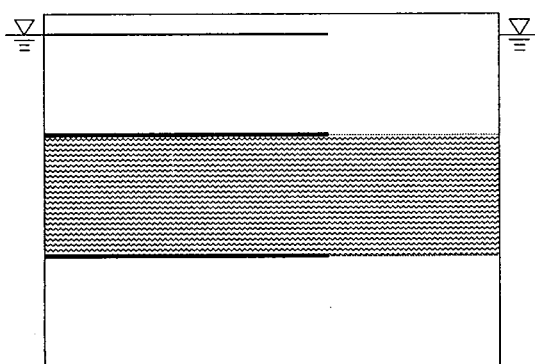


図8 (a) 推論結果の例

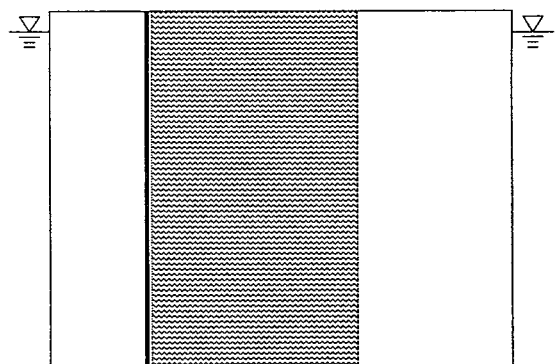


図8 (b) 推論結果の例